

СИНТЕЗ И СТРОЕНИЕ ХЛОРИДА ЦИКЛОПЕНТАДИЕНИЛДИФЕРРОЦЕНОИЛАЦЕТОНАТОЦИРКОНИЯ $C_5H_5[C_{10}H_9FeC(O)CHC(O)CF_3]_2ZrCl$

А.В. Рыбакова

Южно-Уральский государственный университет, г. Челябинск, Россия

Взаимодействием дихлорида цирконоцена с ферроценоилтрифторацетилацетоном в растворе бензола синтезирован *транс*-изомер хлорида циклопентадиенилдиферроценоилацетонатоциркония, строение которого доказано рентгеноструктурным анализом. По данным РСА, проведенного при 293 К на автоматическом четырехкружном дифрактометре D8 QuestBruker (MoK α -излучение, $\lambda = 0,71073 \text{ \AA}$, графитовый монохроматор), атомы циркония в *транс*-изомере комплекса **1** имеют искаженную октаэдрическую конфигурацию $[C_{33}H_{25}F_6ClFe_2ZrO_4$ (**1**), M 837,90; сингония кристаллической структуры триклинная, группа симметрии $P \bar{1}$; параметры элементарной ячейки кристаллов: $a = 10,16(3)$, $b = 12,39(3)$, $c = 13,44(3) \text{ \AA}$; $\alpha = 95,70(10)^\circ$, $\beta = 102,62(14)^\circ$, $\gamma = 93,77(2)^\circ$; $V = 1635(6) \text{ \AA}^3$; размер кристалла $0,16 \times 0,09 \times 0,08 \text{ мм}^3$; интервалы индексов отражений $-12 \leq h \leq 12$, $-15 \leq k \leq 15$, $-17 \leq l \leq 17$; всего отражений 23770; независимых отражений 7090; $R_{int} = 0,3164$; $GOOF = 1,054$; $R_1 = 0,1601$, $wR_2 = 0,3121$; остаточная электронная плотность $1,41/-1,80 \text{ e/\AA}^3$. В ИК-спектре соединения **1** наблюдаются полосы при 808, 1007, 1055, 1409, 2855, 2926, 3099 см^{-1} , которые могут быть отнесены к колебаниям связей ферроценильного заместителя. Интенсивной полосе колебаний при 1298 см^{-1} соответствуют колебания CF_3 – групп. Валентные колебания $Zr-O$ связей проявляются в ИК-спектре в виде ряда полос в области 400–1000 см^{-1} . По данным рентгеноструктурного анализа упаковка молекул комплекса **1** в слое возможна за счёт коротких контактов $C \cdots C$ (3,323 \AA). Каждый из слоёв формируется за счёт опорных контактов $H \cdots C$ (2,850 \AA). Полные таблицы координат атомов, длин связей и валентных углов депонированы в Кембриджском банке структурных данных (№ 1988379 для **1**; deposit@ccdc.cam.ac.uk; <http://www.ccdc.cam.ac.uk>).

Ключевые слова: дихлорид цирконоцена, ферроценоилтрифторацетилацетон, комплекс, рентгеноструктурный анализ.

Введение

Комплексные органические соединения циркония привлекают в настоящее время все большее внимание исследователей, так как наличие в таких соединениях атома со свободными *d*-орбиталями обуславливает возможности дополнительных электронных переходов при взаимодействии с различными органическими и элементоорганическими лигандами. Ранее сообщалось, что комплексы циркония являются эффективными катализаторами превращений непредельных углеводородов и металлоорганических соединений [1–4]. Известна высокая каталитическая активность комплексов циркония в реакциях полимеризации этилена [5–10], гидрирования олефинов [11, 12] и энантиоселективного алкилирования ароматических соединений [13, 14]. Следует также отметить, что сам четыреххлористый цирконий широко используется в катализе [15]. О получении многокомпонентных каталитических систем, содержащих комплексы циркония, ранее не сообщалось, между тем устойчивые к действию влаги гексахлороцирконатные комплексы могут быть использованы для получения многокомпонентных катализаторов, например гексахлороцирконаты тетраорганилфосфония [16–23]. Ковалентное производное циркония – бисциклопентадиенилдиферроцилцирконий [24] может быть использовано для получения пленок металлического циркония.

В настоящей работе впервые синтезировано и структурно охарактеризовано новое ковалентное производное циркония – хлорид циклопентадиенилдиферроценоилацетонатоциркония $(C_5H_5)(C_{10}H_9O_2F_3Fe)_2ZrCl$ (**1**).

Экспериментальная часть

Синтез $(C_5H_5)(C_{10}H_9O_2F_3Fe)_2ZrCl$ (1). Раствор 0,29 г (1,0 ммоль) дихлорида цирконоцена и 0,59 г (2,0 ммоль) ферроценоилтрифторацетона в 20 мл бензола кипятили с обратным холодильником 10 минут. Удаляли растворитель, остаток перекристаллизовывали из гептана. После медленного испарения растворителя выделили 0,82 г темно-сиреневых кристаллов **1**, выход которых составил 98 %, $t_{пл} = 170,5–171,5$ °С.

ИК-спектр (ν , cm^{-1}): 3099, 2926, 2855, 1610, 1577, 1539, 1523, 1481, 1465, 1431, 1409, 1377, 1354, 1336, 1298, 1261, 1213, 1193, 1139, 1107, 1095, 1055, 1033, 1024, 1006, 945, 896, 842, 825, 808, 773, 750, 729, 671, 665, 594, 563, 518, 501, 484. Найдено, %: С 47,20; Н 3,01. $C_{33}H_{25}F_6ClFe_2ZrO_4$. Вычислено, %: С 47,25; Н 2,98.

ИК-спектроскопия. ИК-спектр соединения **1** записывали на ИК-Фурье спектрометре Shimadzu IRAffinity-1S; образцы готовили таблетированием с KBr (область поглощения 4000–400 cm^{-1}).

Рентгеноструктурный анализ (РСА) кристалла **1** проводили на автоматическом четырехкружном дифрактометре D8 QUEST фирмы Bruker (MoK α -излучение, $\lambda = 0,71073$ Å, графитовый монохроматор). Сбор, редактирование данных и уточнение параметров элементарной ячейки, а также учет поглощения проведены с помощью программ SMART и SAINT-Plus [25]. Все расчеты по определению и уточнению структуры выполнены с помощью программ SHELXL/PC [26] и OLEX2 [27]. Структура определена прямым методом и уточнена методом наименьших квадратов в анизотропном приближении для неводородных атомов. Кристаллографические данные и результаты уточнения структуры приведены в табл. 1, основные длины связей и валентные углы – в табл. 2. Полные таблицы координат атомов, длин связей и валентных углов депонированы в Кембриджском банке структурных данных (№ 1988379 для **1**; deposit@ccdc.cam.ac.uk; <http://www.ccdc.cam.ac.uk>).

Таблица 1

Кристаллографические данные, параметры эксперимента и уточнения структуры 1

Параметр	1
<i>M</i>	837,90
Сингония	Триклинная
Пр. группа	<i>P</i> 1
<i>a</i> , Å	10,16(3)
<i>b</i> , Å	12,39(3)
<i>c</i> , Å	13,44(3)
α , град.	95,70(10)
β , град.	102,62(14)
γ , град.	93,77(12)
<i>V</i> , Å ³	1635(6)
<i>Z</i>	2
ρ (выч.), г/см ³	1,702
μ , мм ⁻¹	1,341
<i>F</i> (000)	836,0
Размер кристалла, мм	0,16 × 0,09 × 0,08
Область сбора данных по θ , град.	6,22–54,74
Интервалы индексов отражений	$-12 \leq h \leq 12, -15 \leq k \leq 15, -17 \leq l \leq 17$
Измерено отражений	23770
Отражения с $I > 2\sigma(I)$	3107
<i>R</i> _{int}	0,3164
Независимых отражений	7090
Переменных уточнения	424
<i>GOOF</i>	1,054
<i>R</i> -факторы по $F^2 > 2\sigma(F^2)$	$R_1 = 0,1601, wR_2 = 0,3121$
<i>R</i> -факторы по всем отражениям	$R_1 = 0,2902, wR_2 = 0,3694$
Остаточная электронная плотность (min/max), е/Å ³	1,41/-1,80

Таблица 2

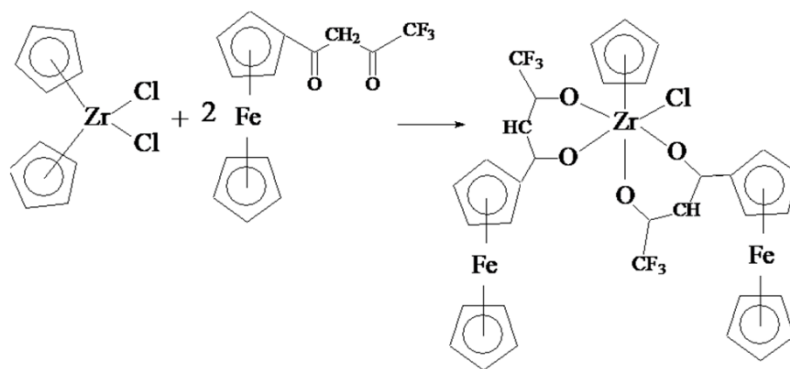
Длины связей (d) и валентные углы (ω) в структуре 1

Связь, d , Å		Угол, ω , град.	
Zr(1)–Cl(1)	2,552(7)	Cl(1)Zr(1)C(5)	89,9(15)
Zr(1)–O(3)	2,187(12)	O(3)Zr(1)Cl(1)	86,2(3)
Zr(1)–O(1)	2,239(12)	O(3)Zr(1)O(1)	78,6(4)
Zr(1)–O(2)	2,140(12)	O(3)Zr(1)O(4)	78,0(5)
Zr(1)–O(4)	2,207(13)	O(3)Zr(1)C(4)	123,1(15)
Zr(1)–C(4)	2,47(3)	O(3)Zr(1)C(3)	90,0(17)
Zr(1)–C(3)	2,55(3)	O(3)Zr(1)C(5)	126,1(10)
Zr(1)–C(5)	2,62(3)	O(1)Zr(1)C(4)	147,5(8)
Zr(1)–C(1)	2,55(3)	O(1)Zr(1)C(3)	148,1(8)
Zr(1)–C(2)	2,49(3)	O(1)Zr(1)C(5)	153,3(8)
Fe(1)–C(6)	2,077(18)	O(1)Zr(1)C(1)	159,9(7)
Fe(1)–C(10)	2,05(2)	O(1)Zr(1)C(2)	154,1(11)
Fe(1)–C(9)	2,08(2)	O(2)Zr(1)O(3)	155,9(5)
Fe(1)–C(12)	2,07(2)	O(2)Zr(1)C(3)	111,5(19)
Fe(1)–C(8)	2,073(17)	O(2)Zr(1)C(1)	105,9(15)
Fe(1)–C(7)	2,057(19)	O(2)Zr(1)C(2)	128,5(10)
Fe(1)–C(13)	2,09(2)	O(4)Zr(1)Cl(1)	152,5(4)

Обсуждение результатов

Ранее было показано, что соединение шестикоординированного циркония, содержащее одновременно клешнеобразную группу и циклопентадиенильное кольцо, было получено из дихлорида цирконоцена и ацетилацетона с выходом 95 % [28].

В настоящей работе исследована аналогичная реакция дихлорида цирконоцена с ферроценоилтрифторацетоном. Установлено, что взаимодействие указанных реагентов в растворе бензола происходило в течение нескольких минут, при этом окраска раствора изменялась на темно-сиреневую. После удаления растворителя и перекристаллизации остатка из гептана получили темно-сиреневые кристаллы хлорида циклопентадиенилдиферроценоилацетонатоциркония (**1**), хорошо растворимые в органических растворителях:

**1**

ИК-спектр соединения **1** (рис. 1) характеризуется частотами колебаний при 808, 1007, 1055, 1409, 2855, 2926, 3099, которые могут быть отнесены к колебаниям связей ферроценильного заместителя [29].

Интенсивная полоса при 1298 см^{-1} относится к колебаниям CF_3 -групп, а ряд полос в области $400\text{--}1000\text{ см}^{-1}$ соответствуют полосам валентных колебаний $\text{Zr}\text{--}\text{O}$ связей [30].

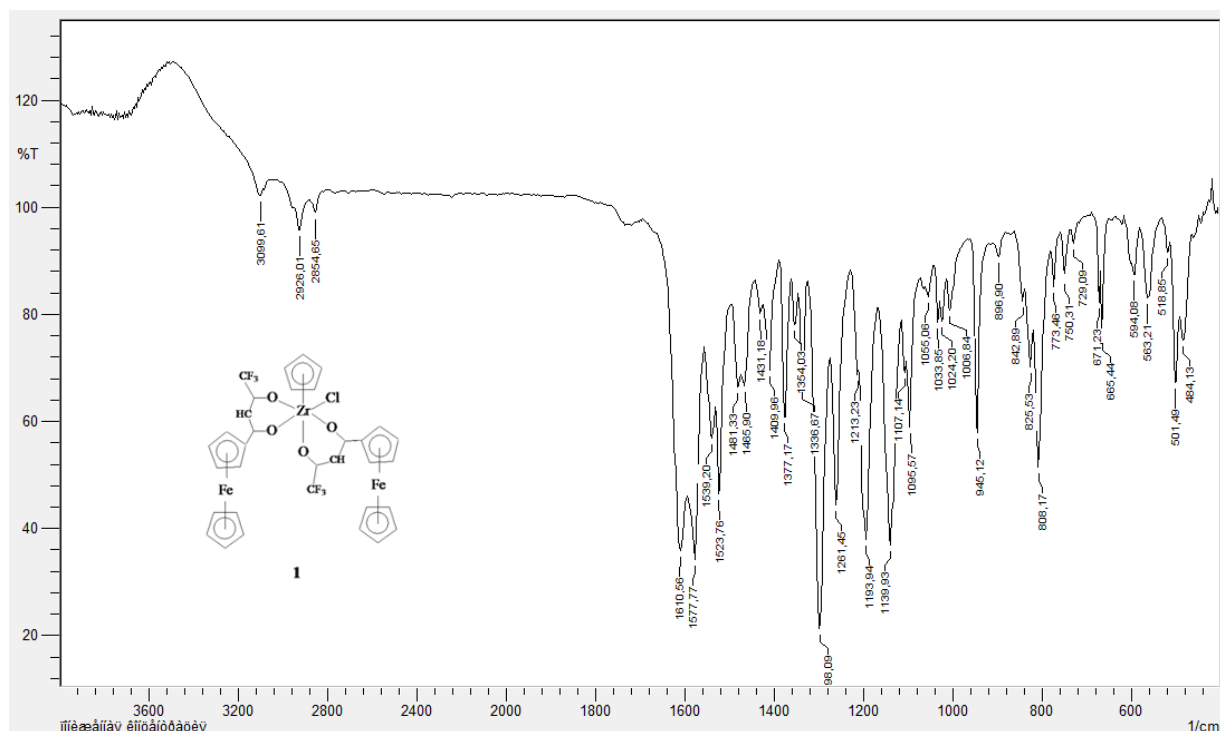


Рис. 1. ИК-спектр $(C_5H_5)(C_{10}H_9O_2F_3Fe)_2ZrCl$ (1)

Можно предположить, что получаемое клешнеобразное циклопентадиенильное соединение шестикординированного циркония имеет *цис*- либо *транс*-изомерную форму. С целью определения истинного строения образующегося комплекса проведен его рентгеноструктурный анализ, который показал, что соединение **1** имеет *транс*-конформацию (рис. 2):

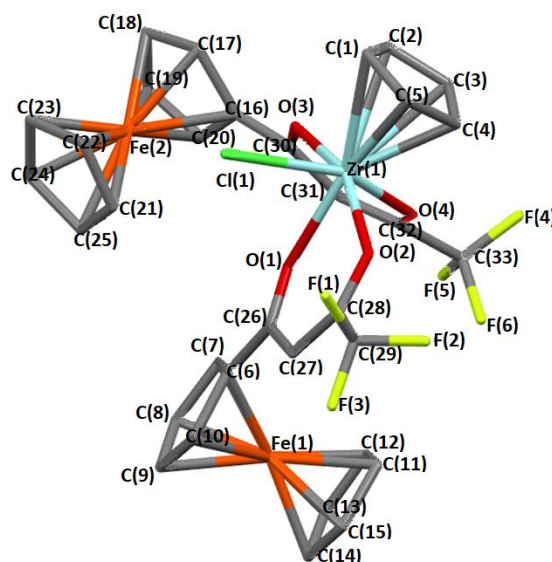


Рис. 2. Строение хлорида циклопентадиенилдиферроценоилацетонатоциркония (1)

Длины связей Fe–C (2,02(3) – 2,10(2) Å) в комплексе **1** близки к аналогичным расстояниям в структуре ферроцена [31,32]. Длины связей Zr–O составляют 2,140(12), 2,187(12), 2,207(13), 2,239(12) Å, что близко к сумме ковалентных радиусов соответствующих атомов (2,41 Å [33]) и согласуется с известными в литературе подобными комплексами циркония [34, 35]. Углы O–Zr–O (78,6(4) и 78,0(5)°) сопоставимы с теми, которые зарегистрированы для (η^5 -

циклопентадиенил)-бис(ацетилацетонато)хлорциркония и *цис*-хлор-(η^5 -циклопентадиенил)-бис(1,3-дифенил-1,3-пропандионато)циркония (IV) [34, 35]. Следует отметить, что молекулярная структура последнего в отличие от полученного нами комплекса **1** представлена *цис*-конфигурацией.

По данным рентгеноструктурного анализа упаковка молекул в слое происходит с участием атомов углерода и водорода ферроценильных фрагментов и осуществляется за счёт коротких контактов C...C (3,323 Å). Внутри каждого слоя молекулы удерживаются благодаря опорным контактам H...C (2,850 Å) (рис. 3).

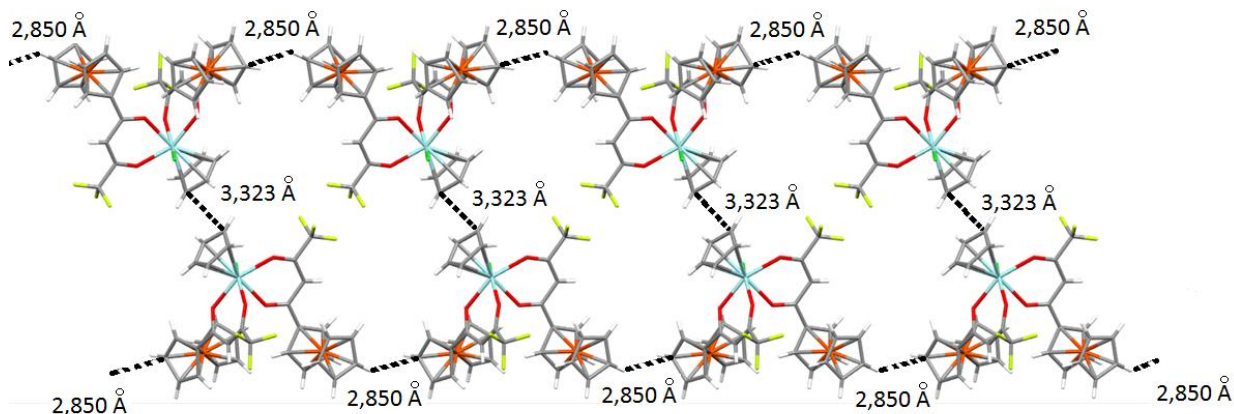


Рис. 3. Упаковка молекул и короткие контакты в кристалле **1**, представленные в проекции вдоль оси *b*

Выводы

Таким образом, взаимодействием дихлорида цирконоцена с ферроценоилтрифторацетилацетоном в растворе бензола синтезирован *транс*-изомер хлорида циклопентадиенилдиферроценоилацетонатоциркония, строение которого доказано рентгеноструктурным анализом.

Благодарности

Выражаю благодарность профессору В.В. Шарутину за проведенные рентгеноструктурные исследования.

Литература

1. Джемилев, У.М. Комплексы циркония в синтезе и катализе / У.М. Джемилев, О.С. Вострикова, А.Г. Ибрагимов // Успехи химии. – 1986. – Т. 2. – С. 191 – 224.
2. Schwartz, I. Hydrozirconation: A New Transition Metal Reagent for Organic Synthesis / I. Schwartz, J. Labinger // Angew. Chem. Int. Ed. Engl. – 1976. – V. 15. – P. 333–340. DOI: 10.1002/anie.197603331
3. Schwartz, J. Organozirconium Compounds in Organic Synthesis: Cleavage Reactions of Carbon-zirconium Bonds / J. Schwartz // Pure Appl. Chem. – 1980. – V. 52. – P. 733–740. DOI: 10.1351/pac198052030733
4. Rogers, J.S. Ethoxyboratabenzene Zirconium Complexes: Catalysts for α -Olefin Production / J.S. Rogers, G.C. Bazan, C.K. Sperry // J. Am. Chem. Soc. – 1997. – V. 119. – P. 9305–9306. DOI: 10.1021/ja971976n
5. Novel Zirconium Complexes with Constrained Cyclic β -Enaminoketonato Ligands: Improved Catalytic Capability Toward Ethylene Polymerization / K.-T. Wang, Y.-X. Wang, B. Wang et al. // Dalton Trans. – 2016. – V. 45. – P. 10308–10318. DOI: 10.1039/C6DT01391K
6. Zirconium Enolatoimine Complexes in Olefin Polymerization / S.M. Yu, U. Tritschler, I. Göttker-Schnetmann et al. // Dalton Trans. – 2010. – V. 39. – P. 4612–4618. DOI: 10.1039/B916289E
7. Titanium and Zirconium Permethylpentalene Complexes, Pn*MCpRX, as Ethylene Polymerization Catalysts / D.A.X. Fraser, Z.R. Turner, J.-Ch. Buffet, D. O'Hare // Organometallics. – 2016. – V. 35. – P. 2664–2674. DOI: 10.1021/acs.organomet.6b00417

8. Highly Active and Isospecific Styrene Polymerization Catalyzed by Zirconium Complexes Bearing Aryl-substituted [OSSO]-Type *Bis*(phenolate) Ligands / N. Nakata, T. Toda, Y. Saito et al. // *Polymers*. – 2016. – V. 8. – P. 31–41. DOI: 10.3390/polym8020031
9. Theaker, G.W. Zirconium-Catalyzed Polymerization of a Styrene: Catalyst Reactivation Mechanisms Using Alkenes and Dihydrogen / G.W. Theaker, C. Morton, P. Scott // *Macromolecules*. – 2011. – V. 44. – P. 1393–1404. DOI: 10.1021/ma102835p
10. Catalytically Active N-Acylamidine–Zirconium Complexes: Synthesis, Structures, and Application in Ethylene Polymerization / Th. Holtrichter-Rößmann, I. Häger, C.-G. Daniliuc et al. // *Organometallics*. – 2016. – V. 35. – P. 1906–1915. DOI: 10.1021/acs.organomet.6b00240
11. Cuenca, T. Dicyclopentadienyl-titanium and -Zirconium Complexes as Catalysts for Hydrogenation of Olefins / T. Cuenca, J.C. Flores, P. Royo // *J. Organomet. Chem.* – 1993. – V. 462. – P. 191–201. DOI: 10.1016/0022-328X(93)83357-2
12. Stoichiometric Reactions and Catalytic Hydrogenation with a Reactive Intramolecular Zr⁺/Amine Frustrated Lewis Pair / X. Xu, G. Kehr, C.G. Daniliuc, G. Erker // *J. Am. Chem. Soc.* – 2015. – V. 137. – P. 4550–4557. DOI: 10.1021/jacs.5b01623
13. Highly Enantioselective Friedel–Crafts Alkylations of Indoles with Simple Enones Catalyzed by Zirconium(IV)–BINOL Complexes[†] / G. Blay, I. Fernandez, A. Monleon et al. // *Org. Lett.* – 2007. – V. 9. – P. 2601–2604. DOI: 10.1021/ol0710820
14. Enantioselective Zirconium-Catalyzed Friedel–Crafts Alkylation of Pyrrole with Trifluoromethyl Ketones / G. Blay, I. Fernandez, A. Monleon et al. // *Org. Lett.* – 2009. – V. 11. – P. 441–444. DOI: 10.1021/ol802509m
15. Mo, L.-P. Recent Applications of Zirconium Compounds as Catalysts or Reagents in Organic Synthesis / L.-P. Mo, Zh.-H. Zhang // *Curr. Org. Chem.* – 2011. – V. 15. – P. 3800–3823. DOI: 10.2174/138527211797884520
16. [Na-15-Krone-5]₂[ZrF₂Cl₄] und (PPh₄)₂[ZrCl₆] · 2 CH₂Cl₂; Synthesen, IR-Spektren und Kristallstrukturen / [Na-15-Crown-5]₂[ZrF₂Cl₄] and (PPh₄)₂[ZrCl₆] · 2 CH₂Cl₂; Syntheses, IR Spectra, and Crystal Structures / Hartmann E., Dehnicke K., Fenske D. et al. // *Z. Naturforsch., B: Chem. Sci.* – 1989. – V. 44. – P. 1155–1160. DOI: 10.1515/znb-1989-1001
17. Chen, L. Synthesis, Structure, and Reactivity of [Zr₆C₁₁₈H₅]²⁻, the First Paramagnetic Species of Its Class / L. Chen, F.A. Cotton // *Inorg. Chem.* – 1996. – V. 35. – P. 7364–7369. DOI: 10.1021/ic960454q
18. Chen, L. Synthesis and Structural Characterization of Compounds Containing the [Zr₆C₁₁₈H₅]³⁻ Cluster Anion. Determination of the Number of Cluster Hydrogen Atoms / L. Chen, F.A. Cotton, W.F. Wojtczak // *Inorg. Chem.* – 1997. – V. 36. – P. 4047–4054. DOI: 10.1021/ic960173i
19. Synthesis and Structure of (Ph₄P)₂MCl₆ (M = Ti, Zr, Hf, Th, U, Np, Pu) / S.G. Minasian, K.S. Boland, R.K. Feller et al. // *Inorg. Chem.* – 2012. – V. 51. – P. 5728–5736. DOI: 10.1021/ic300179d
20. Шарутин, В.В. Синтез и строение комплексов циркония [Ph₃PR]₂⁺[ZrCl₆]²⁻, R = Et, CH₂Ph, CH₂C(O)OMe / В.В. Шарутин, О.К. Шарутина, Е.В. Лобанова // *Журн. неорган. химии*. – 2018. – Т. 63. – № 12. – С. 1549–1554. DOI: 10.1134/S0044457X1812019X
21. Андреев, П.В. Синтез и строение комплексов циркония [Ph₃PCH=CHMe]₂[ZrCl₆] и гафния [Ph₃PCH₂C(O)Me]₂[HfCl₆] / П.В. Андреев, Е.В. Лобанова, П.Д. Дрожилкин // *Вестник ЮУрГУ. Серия «Химия»*. – 2019. – Т. 11, № 4. – С. 26–33. DOI: 10.14529/chem190403
22. Sharutin, V.V. Synthesis and Structure of Triphenylbut-2-enyl- and Triphenylmethoxymethylphosphonium Hexachlorozirconates / V.V. Sharutin, O.K. Sharutina, N.M. Tarasova, E.V. Lobanova, P.V. Andreev // *Bulletin of the Institutions of Higher Education, Chemistry and Chemical Technology*. – 2019. – V. 62. – № 6. – P. 36–40. DOI: 10.6060/ivkkt.20196206.5885
23. Sharutin, V.V. Synthesis and Structures of Zirconium Complexes [Et₂H₂N]⁺₂[ZrCl₆]²⁻, [Me₃NCH₂Ph]⁺₂[ZrCl₆]²⁻·MeCN, [Ph₃PC₆H₄(CHPh₂-4)]⁺₂[ZrCl₆]²⁻·2MeCN, and [Ph₄Sb]⁺₂[ZrCl₆]²⁻ / V.V. Sharutin, O.K. Sharutina, N.M. Tarasova, O.S. El'tsov // *Russ. Chem. Bull.* – 2019. – V. 68. – № 1. – P. 24–31. DOI: 10.1007/s11172-019-2411-9
24. Ferrocenyl Derivatives of Dicyclopentadienyl-titanium, -Zirconium and -Hafnium / G.A. Razuvaev, G.A. Domrachev, V.V. Sharutin, O.N. Suvorova // *J. Organomet. Chem.* – 1975. – V. 141. – P. 313–317.

25. Bruker. SMART and SAINT-Plus. Versions 5.0. Data Collection and Processing Software for the SMART System. Bruker AXS Inc., Madison, Wisconsin, USA, 1998.
26. Bruker. SHELXTL/PC. Versions 5.10. An Integrated System for Solving, Refining and Displaying Crystal Structures From Diffraction Data. Bruker AXS Inc., Madison, Wisconsin, USA, 1998.
27. OLEX2: a Complete Structure Solution, Refinement and Analysis Program / O.V. Dolomanov, L.J. Bourhis, R.J. Gildea et al. // J. Appl. Cryst. – 2009. – V. 42. – P. 339–341. DOI: 10.1107/S0021889808042726.
28. Фрейдлина, Р.Х. Синтез смешанных клешнеобразных циклопентадиенильных соединений циркония / Р.Х. Фрейдлина, Э.М. Брайнина, А.Н. Несмеянов // Докл. АН СССР. – 1961. – Т. 138. – С. 1369–1373.
29. Товбис, М.С. Методы анализа и идентификации органических соединений: описание практических работ для студентов направления 04.06.01 «Химические науки» направленности «Органическая химия», очной и заочной форм обучения / М.С. Товбис // Мин-во науки и высш. образования Рос. Федерации, Сиб. гос. ун-т науки и технологий им. акад. М. Ф. Решетнева. – Красноярск: СибГУ им. М.Ф. Решетнева, 2019. – 35 с.
30. Синтез и сравнительный анализ пористых бинарных оксидов $ZrO_2 - SiO_2$, синтезированных на основе хлорокси циркония (IV) и тетрабутоксидциркония с использованием в качестве матрицы целлюлозы / А.Б. Шишмаков, О.В. Корякова, Ю.В. Микушина, Л.А. Петров // Химия растительного сырья. – 2015. – № 3. – С. 151–159. DOI:10.14258/jcprm.201503599
31. Dunitz, J.D. The Crystal Structure of Ferrocene / J.D. Dunitz, L.E. Orgel, A. Rich // Acta Crystallogr. – 1956. – V. 9. – P. 373–375. DOI: 10.1107/S0365110X56001091
32. Seiler, P. A New Interpretation of the Disordered Crystal Structure of Ferrocene / P. Seiler, J.D. Dunitz // Acta Crystallogr., Sect. B: Struct. Crystallogr. Cryst. Chem. – 1979. – B35. – P. 1068–1074. DOI: 10.1107/S0567740879005598
33. Covalent Radii Revisited / B. Cordero, V. Gómez, A.E. Platero-Prats et al. // Dalton Trans. – 2008. – P. 2832–2838. DOI: 10.1039/b801115j
34. The New Method of Synthesis and Structural Identification of *Cis*-[CpZr(acac)₂Cl] / S.S. Yun, H. Suh, E. Hee Kim et al. // J. Korean Chem. Soc. – 1999. – V. 43. – P. 593–595.
35. Crystal Structure of Chlorocyclopentadienyl-bis(1,3-diphenyl-1,3-propanedionato)zirconium (IV) Complex / S. Lee, S.K. Kang, S.S. Yun et al. // Bull. Korean Chem. Soc. – 2005. – V. 26. – P. 852–854. DOI: 10.5012/bkcs.2005.26.5.852

Рыбакова Анастасия Владимировна – кандидат химических наук, доцент кафедры теоретической и прикладной химии, Южно-Уральский государственный университет. 454080, г. Челябинск, проспект Ленина, 76. E-mail: rybakovaav@susu.ru

Поступила в редакцию 30 сентября 2020 г.

DOI: 10.14529/chem210204

SYNTHESIS AND STRUCTURE OF CYCLOPENTADIENYL DIFERROCENYOYLACETONATOZIRCONIUM CHLORIDE $C_5H_5[C_{10}H_9FeC(O)CHC(O)CF_3]_2ZrCl$

A. V. Rybakova, rybakovaav@susu.ru
South Ural State University, Chelyabinsk, Russian Federation

Interaction of zirconocene dichloride with ferrocenyltrifluoroacetylacetone in benzene solution led to synthesis of a *trans*-isomer of cyclopentadienyl diferrocenoylacetonatozirconium chloride, the structure of which was proved by X-ray diffraction analysis. According to the X-ray

analysis performed at 293 K on an automatic four-circle diffractometer D8 QuestBruker (MoCA radiation, $\lambda = 0.71073 \text{ \AA}$, graphite monochromator), the zirconium atoms in the *trans*-isomer of complex **1** have a distorted octahedral configuration [$\text{C}_{33}\text{H}_{25}\text{F}_6\text{ClFe}_2\text{ZrO}_4$ (**1**), M 837.90; the crystal structure is triclinic, the symmetry group $P\bar{1}$; crystal unit cell parameters: $a = 10.16(3)$, $b = 12.39(3)$, $c = 13.44(3) \text{ \AA}$; $\alpha = 95.70(10)^\circ$, $\beta = 102.62(14)^\circ$, $\gamma = 93.77(2)^\circ$; $V = 1635(6) \text{ \AA}^3$; crystal size $0.16 \times 0.09 \times 0.08 \text{ mm}^3$; reflection index intervals $-12 \leq h \leq 12$, $-15 \leq k \leq 15$, $-17 \leq l \leq 17$; total reflections 23770; independent reflections 7090; $R_{\text{int}} = 0.3164$; GOOF = 1.054; $R_1 = 0.1601$, $wR_2 = 0.3121$; residual electron density $1.41/-1.80 \text{ e/\AA}^3$. In the IR spectrum of compound **1** the bands are observed at 808, 1007, 1055, 1409, 2855, 2926, 3099 cm^{-1} , which can be attributed to fluctuations in the bonds of the ferrocene substituent. The intense vibration band at 1298 cm^{-1} corresponds to the vibrations of the CF_3 groups. Valence vibrations of the Zr-O bonds appear in the IR spectrum as a series of bands in the region of 400–1000 cm^{-1} . According to the X-ray diffraction analysis, the packing of complex **1** molecules into layers is possible due to short contacts $\text{C}\cdots\text{C}$ (3.323 Å). Each of the layers is formed by reference contacts $\text{H}\cdots\text{C}$ (2.850 Å). Complete tables of atomic coordinates, bond lengths, and valence angles are deposited in the Cambridge structural data Bank (No. 1988379 for **1**; deposit@ccdc.cam.ac.uk; <http://www.ccdc.cam.ac.uk>).

Keywords: zirconocene dichloride, ferrocenyltrifluoroacetylacetone, complex, X-ray diffraction analysis.

References

1. Dzhemilev U.M., Vostrikova O.S., Ibragimov A.G. Zirconium Complexes in Synthesis and Catalysis. *Russ. Chem. Rev.*, vol. 55., pp. 66–82. DOI: 10.1070/RC1986v055n02ABEH003172.
2. Schwartz I., Labinger J. A New Transition Metal Reagent for Organic Synthesis. *Angew. Chem. Int. Ed. Engl.*, 1976, vol. 15, pp. 333–340. DOI: 10.1002/anie.197603331
3. Schwartz J. Organozirconium Compounds in Organic Synthesis: Cleavage Reactions of Carbon-zirconium Bonds. *Pure Appl. Chem.*, 1980, vol. 52, pp. 733–740. DOI: 10.1351/pac198052030733
4. Rogers J.S., Bazan G.C., Sperry C.K. Ethoxyboratabenzene Zirconium Complexes: Catalysts for α -Olefin Production. *J. Am. Chem. Soc.*, 1997, vol. 119, pp. 9305–9306. DOI: 10.1021/ja971976n
5. Wang K.-T., Wang Y.-X., Wang B., Y.-G. Li, Y.-S. Li, Novel Zirconium Complexes with Constrained Cyclic β -Enaminoketonato Ligands: Improved Catalytic Capability Toward Ethylene Polymerization. *Dalton Trans.*, 2016, vol. 45, pp. 10308–10318. DOI: 10.1039/C6DT01391K
6. Yu S.M., Tritschler U., Göttker-Schnetmann I., Mecking S. Zirconium Enolatoimine Complexes in Olefin Polymerization. *Dalton Trans.*, 2010, vol. 39, pp. 4612–4618. DOI: 10.1039/B916289E
7. Fraser D.A.X., Turner Z.R., Buffet J.-Ch., O'Hare D. Titanium and Zirconium Permethylpentylene Complexes, Pn^*MCpRX , as Ethylene Polymerization Catalysts. *Organometallics.*, 2016, vol. 35, pp. 2664–2674. DOI: 10.1021/acs.organomet.6b00417
8. Nakata, N., Toda, T., Saito, Y., Watanabe, T., & Ishii. Highly Active and Isospecific Styrene Polymerization Catalyzed by Zirconium Complexes Bearing Aryl-substituted [OSSO]-Type *Bis*(phenolate) Ligands. *Polymers*, 2016, vol. 8, pp. 31. DOI: 10.3390/polym8020031
9. Theaker G.W., Morton C., Scott P. Zirconium-Catalyzed Polymerization of a Styrene: Catalyst Reactivation Mechanisms Using Alkenes and Dihydrogen. *Macromolecules.*, 2011, vol. 44, pp. 1393–1404. DOI: 10.1021/ma102835p
10. Holtrichter-Rößmann T., Häger I., Daniliuc C.-G., Fröhlich R., Bergander K., Troll C., Würthwein E.-U. Catalytically Active N-Acylamidino-Zirconium Complexes: Synthesis, Structures, and Application in Ethylene Polymerization. *Organometallics.*, 2016, vol. 35, pp. 1906–1915. DOI: 10.1021/acs.organomet.6b00240
11. Cuenca T., Flores J.C., Royo P. Dicyclopentadienyl-titanium and -Zirconium Complexes as Catalysts for Hydrogenation of Olefins. *J. Organomet. Chem.*, 1993, vol. 462, pp. 191–201. DOI: 10.1016/0022-328X(93)83357-2
12. Xu X., Kehr G., Daniliuc C.G., Erker G. Stoichiometric Reactions and Catalytic Hydrogenation with a Reactive Intramolecular Zr^+ /Amine Frustrated Lewis Pair. *J. Am. Chem. Soc.*, 2015, vol. 137, pp. 4550–4557. DOI: 10.1021/jacs.5b01623
13. Blay G., Fernández I., Pedro J. R., & Vila C. Highly Enantioselective Friedel–Crafts Alkylations of Indoles with Simple Enones Catalyzed by Zirconium(IV)–BINOL Complexes[†]. *Org. Lett.*, 2007, vol. 9, pp. 2601–2604. DOI: 10.1021/ol0710820

14. Blay G., Fernández I., Monleón A., Pedro J. R., & Vila C. Enantioselective Zirconium-Catalyzed Friedel–Crafts Alkylation of Pyrrole with Trifluoromethyl Ketones. *Org. Lett.*, 2009, vol. 11, pp. 441–444. DOI: 10.1021/ol802509m
15. Mo L.-P. Zhang Zh.-H. Recent Applications of Zirconium Compounds as Catalysts or Reagents in Organic Synthesis. *Curr. Org. Chem.*, 2011, vol. 15, pp. 3800–3823. DOI: 10.2174/138527211797884520
16. Hartmann E., Dehnicke K., Fenske D., Goesmann H., & Baum G. Na-15-Krone-5]₂[ZrF₂Cl₄] und (PPh₄)₂[ZrCl₆] · 2 CH₂Cl₂; Synthesen, IR-Spektren und Kristallstrukturen / [Na-15-Crown-5]₂[ZrF₂Cl₄] and (PPh₄)₂[ZrCl₆] · 2 CH₂Cl₂; Syntheses, IR Spectra, and Crystal Structures. *Z. Naturforsch., B: Chem. Sci.*, 1989, vol. 44, pp. 1155–1160. DOI: 10.1515/znb-1989-1001
17. Chen L., & Cotton F. A. Synthesis, Structure, and Reactivity of [Zr₆Cl₁₈H₅]²⁻, the First Paramagnetic Species of Its Class. *Inorg. Chem.*, 1996, vol. 35, pp. 7364–7369. DOI: 10.1021/ic960454q
18. Chen L., Cotton F.A., Wojtczak W.F. Synthesis and Structural Characterization of Compounds Containing the [Zr₆C₁₈H₅]³⁻ Cluster Anion. Determination of the Number of Cluster Hydrogen Atoms. *Inorg. Chem.*, 1997, vol. 36, pp. 4047–4054. DOI: 10.1021/ic960173i
19. Minasian S.G., Boland K.S., Feller R.K., Gaunt A.J., Kozimor S.A., May I., Shuh D.K. Synthesis and Structure of (Ph₄P)₂MCl₆ (M = Ti, Zr, Hf, Th, U, Np, Pu). *Inorg. Chem.*, 2012, vol. 51, pp. 5728–5736. DOI: 10.1021/ic300179d
20. Sharutin V.V., Sharutina O.K., Lobanova E.V. Zirconium Complexes [Ph₃PR]⁺₂ [ZrCl₆]²⁻, R = Et, CH₂Ph, CH₂C(O)OMe: Synthesis and Structure. *Russ. J. Inorg. Chem.*, 2018, vol. 63, no. 12, pp. 1558–1563. DOI: 10.1134/S0036023618120197
21. Andreev P.V., Lobanova E.V., Drozhilkin P.D. [Synthesis and Structure of Zirconium [Ph₃PCH=CHMe]₂[ZrCl₆] and Hafnium [Ph₃PCH₂C(O)Me]₂[HfCl₆] Complexes]. *Bulletin of the South Ural State University. Ser. Chemistry*, 2019, vol. 11, no. 4, pp. 26–33. DOI: 10.14529/chem190403 (in Russ.)
22. Sharutin V.V., Sharutina O.K., Tarasova N.M., Lobanova E.V., Andreev P.V. Synthesis and Structure of Triphenylbut-2-enyl- and Triphenylmetoxymethylphosphonium Hexachlorozirconates. *Bulletin of the Institutions of Higher Education, Chemistry and Chemical Technology*, 2019, vol. 62, no. 6, pp. 36–40. DOI: 10.6060/ivkkt.20196206.5885
23. Sharutin V.V., Sharutina O.K., Tarasova N.M., El'tsov O.S. Synthesis and Structures of Zirconium Complexes [Et₂H₂N]⁺₂[ZrCl₆]²⁻, [Me₃NCH₂Ph]⁺₂[ZrCl₆]²⁻·MeCN, [Ph₃PC₆H₄(CHPh₂-4)]⁺₂[ZrCl₆]²⁻·2MeCN, and [Ph₄Sb]⁺₂[ZrCl₆]²⁻. *Russ. Chem. Bull.*, 2019, vol. 68, no. 1, pp. 24–31. DOI: 10.1007/s11172-019-2411-9
24. Razuvaev G.A., Domrachev G.A., Sharutin V.V., Suvorova O.N. / Ferrocenyl Derivatives of Dicyclopentadienyl-titanium, -Zirconium and -Hafnium. *J. Organomet. Chem.*, 1975, vol. 141, pp. 313–317.
25. Bruker. SMART and SAINT-Plus. Versions 5.0. Data Collection and Processing Software for the SMART System. Bruker AXS Inc., Madison, Wisconsin, USA, 1998.
26. Bruker. SHELXTL/PC. Versions 5.10. An Integrated System for Solving, Refining and Displaying Crystal Structures from Diffraction Data. Bruker AXS Inc., Madison, Wisconsin, USA, 1998.
27. Dolomanov O.V., Bourhis L.J., Gildea R.J. OLEX2: Complete Structure Solution, Refinement and Analysis Program. *J. Appl. Cryst.*, 2009, vol. 42, pp. 339–341. DOI: 10.1107/S0021889808042726.
28. Freydina R.H., Braynina E.M., Nesmeyanov A.N. [Synthesis of Mixed Claw-like Cyclopentadienyl Compounds of Zirconium]. *Reports of USSR Academy of Sciences*, 1961, vol. 138, no. 6, pp. 1369–1373. (in Russ.)
29. Tovbis M.S. *Metody analiza i identifikatsii organicheskikh soedineniy: opisanie prakticheskikh rabot dlya studentov napravleniya 04.06.01 "Khimicheskie nauki" napravlennosti "Organicheskaya khimiya", ochnoy i zaочноy form obucheniya* [Methods of Analysis and Identification of Organic Compounds: Description of Practical Works for Students of the Direction 04.06.01 "Chemical Sciences" of the Direction "Organic Chemistry", Full-time and Part-time Forms of Training] Ministry of Science and Technology Education Russian Federation, Sib. State. M.F. Reshetnev University of Science and Technology. Krasnoyarsk, 2019, p. 35.

30. Shishmarev A.B., Koryakova O.V., Mikushina Yu.V., Petrov L.A. [Synthesis and Comparative Analysis of Porous Binary ZrO_2-SiO_2 Oxides Synthesized on the Basis of Zirconium (IV) Chloroxide and Tetrabutoxycirconium Using Cellulose as a Matrix]. *Chemistry of plant raw materials*, 2015, no. 3, pp. 151–159. DOI: 10.14258/jcprm.201503599

31. Dunitz J.D., Orgel L.E., Rich A. The Crystal Structure of Ferrocene. *Acta Crystallogr.*, 1956, vol. 9, pp. 373–375. DOI: 10.1107/S0365110X56001091

32. Seiler P., Dunitz J.D. A New Interpretation of the Disordered Crystal Structure of Ferrocene. *Acta Crystallogr., Sect. B: Struct. Crystallogr. Cryst. Chem.*, 1979, B35, pp. 1068–1074. DOI: 10.1107/S0567740879005598

33. Cordero B., Gómez V., Platero-Prats A.E., Revés M., Echeverría J., Cremades E., Barragán F. and Alvarez S. Covalent Radii Revisited. *Dalton Trans.*, 2008, pp. 2832–2838. DOI: 10.1039/b801115j

34. Yun S.S., Suh Il-H., Kim Eu. Hee, Lee S. The New Method of Synthesis and Structural Identification of *Cis*-[CpZr(acac)₂Cl]. *J. Korean Chem. Soc.*, 1999, vol. 43, pp. 593–595.

35. Lee S., Kang S.K., Yun S.S., Ahn S.-H., Lee D.-Koo. Crystal Structure of Chlorocyclopentadienyl-*bis*(1,3-diphenyl-1,3-propanedionato)zirconium (IV) Complex. *Bull. Korean Chem. Soc.*, 2005, vol. 26, pp. 852–854. DOI: 10.5012/bkcs.2005.26.5.852

Received 30 September 2020

ОБРАЗЕЦ ЦИТИРОВАНИЯ

Рыбакова, А.В. Синтез и строение хлорида циклопентадиенилдиферроценоилацетонатоциркония $C_5H_5[C_{10}H_9FeC(O)CHC(O)CF_3]_2ZrCl$ / А.В. Рыбакова // Вестник ЮУрГУ. Серия «Химия». – 2021. – Т. 13, № 2. – С. 39–48. DOI: 10.14529/chem210204

FOR CITATION

Rybakova A.V. Synthesis and Structure of Cyclopentadienyl Diferrocenoylacetonatozirconium Chloride $C_5H_5[C_{10}H_9FeC(O)CHC(O)CF_3]_2ZrCl$. *Bulletin of the South Ural State University. Ser. Chemistry*. 2021, vol. 13, no. 2, pp. 39–48. (in Russ.). DOI: 10.14529/chem210204
